

# КВАНТОВАНИЕ ЭЛЕКТРОМАГНИТНОГО ПОЛЯ ОДНОМЕРНЫХ ПОВЕРХНОСТНЫХ ПЛАЗМОН-ПОЛЯРИТОНОВ

Чмерева Т.М., Курмангалеев К.С.

Оренбургский государственный университет, г. Оренбург

Взаимодействие атомов и молекул с поверхностью твердого тела удобно описывать в рамках представления о рождении и уничтожении квазичастиц, являющихся элементарными возбуждениями (квантами) ионной и электронной подсистем кристалла. Хорошо известно, что присутствие проводящих поверхностей влияет на излучательные и безызлучательные переходы в молекулах и квантовых точках [1-2]. А именно, тушение электронно-возбужденных состояний молекул и квантовых точек проводящими объектами может рассматриваться как безызлучательный перенос энергии к поверхности, сопровождающийся рождением поверхностных плазмонов [3], которые представляют собой электромагнитные возбуждения, распространяющиеся в достаточно тонком слое по границе раздела между проводником и диэлектриком. Кроме того, посредством поверхностных плазмонов может осуществляться межмолекулярная передача энергии, как показано в работе [4].

Расчеты скоростей указанных процессов удобно проводить в формализме вторичного квантования. В работах [3-4] использовалось квазистатическое приближение, в котором потенциал поля поверхностного плазмона находится из уравнения Лапласа. Однако в этом случае может иметь место неправильное поведение дисперсионных кривых плазмонных колебаний в области малых волновых чисел. Поэтому более корректно рассматривать электромагнитное поле поверхностной волны с учетом запаздывания и при этом использовать термин «поверхностный плазмон-поляритон» (ППП).

В работе [5] было выполнено квантование поля ППП в планарной структуре, состоящей из металлической подложки и двух диэлектрических слоев. Здесь мы подробно рассмотрим процедуру квантования поля ППП проводящей нанопроволоки. Следуя методу, изложенному в работе [6], вычислим усредненную по времени энергию электромагнитного поля ППП

$$\bar{W} = \frac{1}{8\pi} \left\{ \int_{r < R} \left[ \frac{d(\omega \varepsilon_m(\omega))}{d\omega} \overline{\mathbf{E}_m^2} + \overline{\mathbf{H}_m^2} \right] dV + \int_{r \geq R} \left[ \varepsilon_d \overline{\mathbf{E}_d^2} + \overline{\mathbf{H}_d^2} \right] dV \right\}, \quad (1)$$

где  $\mathbf{E}_i$  и  $\mathbf{H}_i$  – напряженности электрического и магнитного полей внутри  $i = m$  (вне  $i = d$ ) нанопроволоки,  $\varepsilon_m(\omega) = \varepsilon_\infty - \omega_{pl}^2 / \omega^2$  – диэлектрическая проницаемость металла,  $\varepsilon_\infty$  – высокочастотная диэлектрическая проницаемость,  $\omega$  – частота поверхностного плазмона,  $\omega_{pl}$  – плазменная частота металла,  $\varepsilon_d$  – диэлектрическая проницаемость диэлектрика, не зависящая от частоты,  $R$  – радиус нанопроволоки. Магнитные проницаемости нанопроволоки и окружающей среды приняты за единицу.

Если напряженности полей гармонически зависят от времени, то в результате усреднения получим

$$\overline{\mathbf{E}_i^2} = 2 \left( E_r^i E_r^{i*} + E_\varphi^i E_\varphi^{i*} + E_z^i E_z^{i*} \right), \quad \overline{\mathbf{H}_i^2} = 2 \left( H_r^i H_r^{i*} + H_\varphi^i H_\varphi^{i*} + H_z^i H_z^{i*} \right),$$

где компоненты напряженностей являются решениями уравнений Максвелла в цилиндрических координатах. Для локализованных вблизи поверхности нанопроволоки волн в области  $r < R$  эти компоненты имеют вид [7]

$$\begin{aligned} E_r^m(r, \varphi, z) &= \sum_{k_z, n} \left( -\frac{ik_z}{q_m} I'_n(q_m r) A_{k_z, n} + \frac{\omega n}{q_m^2 r} I_n(q_m r) B_{k_z, n} \right) e^{i(k_z z + n\varphi)}, \\ E_\varphi^m(r, \varphi, z) &= \sum_{k_z, n} \left( \frac{nk_z}{q_m^2 r} I_n(q_m r) A_{k_z, n} + \frac{i\omega}{q_m} I'_n(q_m r) B_{k_z, n} \right) e^{i(k_z z + n\varphi)}, \\ E_z^m(r, \varphi, z) &= \sum_{k_z, n} I_n(q_m r) A_{k_z, n} e^{i(k_z z + n\varphi)}, \end{aligned} \quad (2)$$

$$\begin{aligned} H_r^m(r, \varphi, z) &= \sum_{k_z, n} \left( -\frac{n\varepsilon_m \omega}{cq_m^2 r} I_n(q_m r) A_{k_z, n} - \frac{ick_z}{q_m} I'_n(q_m r) B_{k_z, n} \right) e^{i(k_z z + n\varphi)}, \\ H_\varphi^m(r, \varphi, z) &= \sum_{k_z, n} \left( -\frac{i\varepsilon_m \omega}{cq_m} I'_n(q_m r) A_{k_z, n} + \frac{nc k_z}{q_m^2 r} I_n(q_m r) B_{k_z, n} \right) e^{i(k_z z + n\varphi)}, \\ H_z^m(r, \varphi, z) &= \sum_{k_z, n} c I_n(q_m r) B_{k_z, n} e^{i(k_z z + n\varphi)}. \end{aligned} \quad (3)$$

Вне нанопроволоки  $r > R$  соответствующие компоненты записываются следующим образом

$$\begin{aligned} E_r^d(r, \varphi, z) &= \sum_{k_z, n} \left( -\frac{ik_z}{q_d} K'_n(q_d r) C_{k_z, n} + \frac{\omega n}{q_d^2 r} K_n(q_d r) D_{k_z, n} \right) e^{i(k_z z + n\varphi)}, \\ E_\varphi^d(r, \varphi, z) &= \sum_{k_z, n} \left( \frac{nk_z}{q_d^2 r} K_n(q_d r) C_{k_z, n} + \frac{i\omega}{q_d} K'_n(q_d r) D_{k_z, n} \right) e^{i(k_z z + n\varphi)}, \\ E_z^d(r, \varphi, z) &= \sum_{k_z, n} K_n(q_d r) C_{k_z, n} e^{i(k_z z + n\varphi)}, \end{aligned} \quad (4)$$

$$\begin{aligned} H_r^d(r, \varphi, z) &= \sum_{k_z, n} \left( -\frac{n\varepsilon_d \omega}{cq_d^2 r} K_n(q_d r) C_{k_z, n} - \frac{ick_z}{q_d} K'_n(q_d r) D_{k_z, n} \right) e^{i(k_z z + n\varphi)}, \\ H_\varphi^d(r, \varphi, z) &= \sum_{k_z, n} \left( -\frac{i\varepsilon_d \omega}{cq_d} K'_n(q_d r) C_{k_z, n} + \frac{nc k_z}{q_d^2 r} K_n(q_d r) D_{k_z, n} \right) e^{i(k_z z + n\varphi)}, \end{aligned} \quad (5)$$

$$H_z^d(r, \varphi, z) = \sum_{k_z, n} c K_n(q_d r) D_{k_z, n} e^{i(k_z z + n\varphi)}.$$

В формулах (2) – (5)  $I_n(x)$  и  $K_n(x)$  – модифицированные функции Бесселя  $n$ -го порядка,  $I'_n(x)$  и  $K'_n(x)$  – производные по  $x$ ,  $q_{m(d)} = \sqrt{k_z^2 - \varepsilon_{m(d)} \omega^2 / c^2}$ ,  $k_z$  – продольное волновое число,  $\omega$  – частота ППП,  $c$  – скорость света.

На поверхности нанопроволоки должны быть равны тангенциальные компоненты напряженностей электрического и магнитного полей

$$\begin{aligned} E_z^m(R, \varphi, z) &= E_z^d(R, \varphi, z), & E_\varphi^m(R, \varphi, z) &= E_\varphi^d(R, \varphi, z), \\ H_z^m(R, \varphi, z) &= H_z^d(R, \varphi, z), & H_\varphi^m(R, \varphi, z) &= H_\varphi^d(R, \varphi, z). \end{aligned}$$

Подставляя в эти условия соответствующие выражения из (2) – (5), получим связь между коэффициентами  $A_{k_z, n}$ ,  $B_{k_z, n}$ ,  $C_{k_z, n}$ ,  $D_{k_z, n}$ . Условия для  $z$  – компонент полей дают

$$C_{k_z, n} = \frac{I_n(q_m R)}{K_n(q_d R)} A_{k_z, n}, \quad D_{k_z, n} = \frac{I_n(q_m R)}{K_n(q_d R)} B_{k_z, n}. \quad (6)$$

Из условий для  $\varphi$  – компонент получаем

$$B_{k_z, n} = \frac{ink_z}{\omega R} \left( \frac{1}{q_d^2} - \frac{1}{q_m^2} \right) \left( \frac{1}{q_d} \frac{K'_n(q_d R)}{K_n(q_d R)} - \frac{1}{q_m} \frac{I'_n(q_m R)}{I_n(q_m R)} \right)^{-1} A_{k_z, n}, \quad (7)$$

$$B_{k_z, n} = \frac{i\omega R}{c^2 nk_z} \left( \frac{1}{q_d^2} - \frac{1}{q_m^2} \right)^{-1} \left( \frac{\varepsilon_d}{q_d} \frac{K'_n(q_d R)}{K_n(q_d R)} - \frac{\varepsilon_m}{q_m} \frac{I'_n(q_m R)}{I_n(q_m R)} \right) A_{k_z, n}. \quad (8)$$

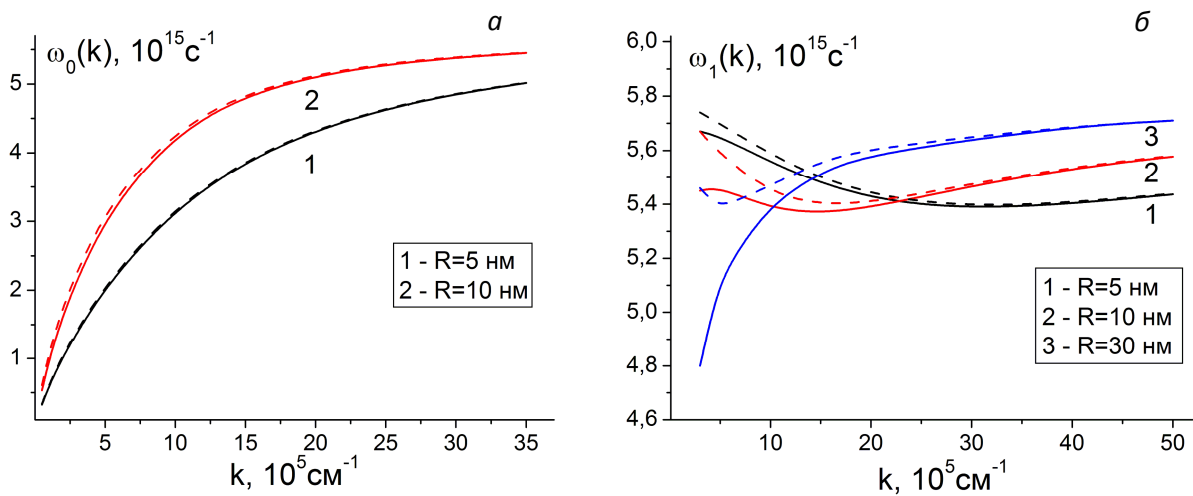
Приравнявая выражения (7) и (8), находим закон дисперсии одномерных поверхностных плазмонов [8]

$$\begin{aligned} \frac{n^2 k_z^2 c^2}{\omega^2 R^2} \left( \frac{1}{q_d^2} - \frac{1}{q_m^2} \right)^2 &= \\ &= \left( \frac{1}{q_d} \frac{K'_n(q_d R)}{K_n(q_d R)} - \frac{1}{q_m} \frac{I'_n(q_m R)}{I_n(q_m R)} \right) \left( \frac{\varepsilon_d}{q_d} \frac{K'_n(q_d R)}{K_n(q_d R)} - \frac{\varepsilon_m}{q_m} \frac{I'_n(q_m R)}{I_n(q_m R)} \right). \end{aligned} \quad (9)$$

Отметим, что в квазистатическом приближении, т.е. в пределе бесконечно большой скорости света, когда коэффициенты  $q_{m(d)} \rightarrow k = |k_z|$ , из формулы (9) частота поверхностного плазмона может быть найдена в явном виде

$$\omega_n^2(k) = \omega_{pl}^2 \left( \varepsilon_\infty + \varepsilon_d \frac{I_n(kR) K_{n-1}(kR) + K_{n+1}(kR)}{K_n(kR) I_{n-1}(kR) + I_{n+1}(kR)} \right)^{-1}. \quad (10)$$

На рисунке 1 сплошными кривыми изображены законы дисперсии  $\omega_n(k)$  плазменных мод с учетом запаздывания (9) и штриховыми кривыми – в квазистатическом приближении (10). В расчетах были использованы следующие параметры модели:  $\varepsilon_\infty = 3.7$ ,  $\hbar\omega_{pl} = 9.1$  эВ [1], что соответствует серебряной нанопроволоке. Диэлектрическая проницаемость среды, окружающей нанопроволоку, принималась равной  $\varepsilon_d = 2$ . Из рисунка 1а видно, что квазистатическое приближение хорошо описывает закон дисперсии осесимметричных ( $n=0$ ) ППП. Для моды  $n=1$  и малых радиусов нанопроволоки дисперсионные кривые с учетом запаздывания и в квазистатике качественно похожи, но количественно отличаются в области малых волновых чисел. Для больших радиусов наблюдается и качественное различие дисперсионных кривых (рис. 1б). Кроме того, следует отметить, что при  $n=0$  уравнение (9) имеет решения  $\omega_n(k)$  при любых значениях продольного волнового числа, а при  $n=1$  существует минимальное  $k$ , начиная с которого уравнение (9) разрешимо.



**Рис.1.** Законы дисперсии поверхностных плазмонов при разных радиусах нанопроволоки: а –  $n = 0$ , б –  $n = 1$

Подставив компоненты напряженностей (2) – (5) в формулу (1) и учтя, что

$$\int_0^{2\pi} e^{-in\varphi} e^{in'\varphi} d\varphi = 2\pi\delta_{n,n'} \quad \text{и} \quad \int_0^L e^{-ik_z z} e^{ik'_z z} dz = L\delta_{k_z, k'_z},$$

усредненную по времени энергию поля плазмонов можно привести к виду

$$\bar{W} = \frac{L}{4} \sum_{k_z, n} S(k_z) [A_{k_z, n}^* A_{k_z, n} + A_{k_z, n} A_{k_z, n}^*], \quad (11)$$

где  $L$  – длина нанопроволоки. Здесь через  $S(k_z)$  обозначено следующее выражение

$$\begin{aligned} S(k_z) = & \left\{ \frac{d(\omega \varepsilon_m)}{d\omega} + c^2 f^2 \right\} \int_0^R I_n^2(q_m r) r dr + \\ & + \frac{1}{2q_m^2} \left\{ (k_z^2 + \omega^2 f^2) \frac{d(\omega \varepsilon_m)}{d\omega} + \frac{\varepsilon_m^2 \omega^2}{c^2} + c^2 k_z^2 f^2 \right\} \int_0^R (I_{n-1}^2(q_m r) + I_{n+1}^2(q_m r)) r dr \\ & + \frac{k_z \omega f}{q_m^2} \left\{ \omega \frac{d\varepsilon_m}{d\omega} + 2\varepsilon_m \right\} \int_0^R (I_{n-1}^2(q_m r) - I_{n+1}^2(q_m r)) r dr + \\ & + \frac{I_n^2(q_m R)}{K_n^2(q_d R)} \left[ \left\{ \varepsilon_d + c^2 f^2 \right\} \int_R^\infty K_n^2(q_d r) r dr + \right. \\ & + \frac{1}{2q_d^2} \left\{ \varepsilon_d (k_z^2 + \omega^2 f^2) + \frac{\varepsilon_d^2 \omega^2}{c^2} + c^2 k_z^2 f^2 \right\} \int_R^\infty (K_{n-1}^2(q_d r) + K_{n+1}^2(q_d r)) r dr + \\ & \left. + \frac{2\varepsilon_d \omega k_z f}{q_d^2} \int_R^\infty (K_{n-1}^2(q_d r) - K_{n+1}^2(q_d r)) r dr \right], \end{aligned} \quad (12)$$

где введено обозначение

$$f = -\frac{nk_z}{\omega R} \left( \frac{1}{q_d^2} - \frac{1}{q_m^2} \right) \left( \frac{1}{q_d} \frac{K'_n(q_d R)}{K_n(q_d R)} - \frac{1}{q_m} \frac{I'_n(q_m R)}{I_n(q_m R)} \right)^{-1}.$$

Заметим, что величина  $S(k_z)$  имеет размерность площади и может рассматриваться как область локализации ППП в поперечном сечении нанопроволоки. В квазистатическом приближении  $f=0$ , и выражение для  $S(k_z)$  существенно упрощается

$$S(k_z) = \frac{R}{k} \frac{\omega_{pl}^2}{\omega_n^2(k)} I_n(kR) (I_{n+1}(kR) + I_{n-1}(kR)). \quad (13)$$

Сделав в (11) замену  $A_{k_z, n} \rightarrow \sqrt{2\hbar\omega / (LS(k_z))} \mathfrak{E}_{k_z, n}$ , получим энергию поля плазмонов во вторичном квантовании  $\bar{W} = \sum_{k_z, n} \hbar\omega (\mathfrak{E}_{k_z, n}^+ \mathfrak{E}_{k_z, n} + 1/2)$ , где  $\mathfrak{E}_{k_z, n}^+$  и  $\mathfrak{E}_{k_z, n}$  – операторы рождения и уничтожения ППП. Указанная замена позволяет записать операторы компонент напряженностей электрического и магнитного полей одномерного поверхностного плазмон-поляритона. А именно, для компонент напряженности электрического поля внутри нанопроволоки имеем

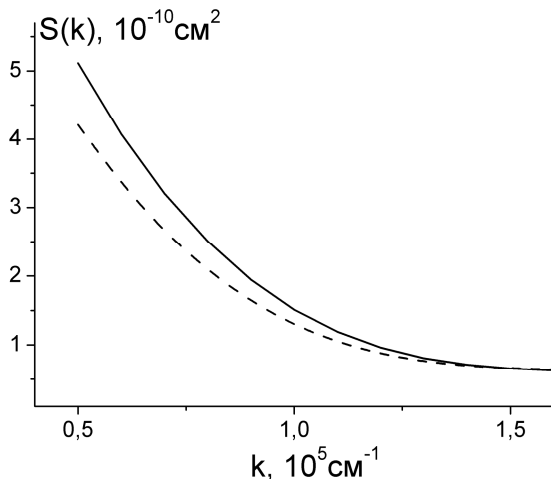
$$\begin{aligned}
\mathbf{E}_r^m &= \sqrt{\frac{2\hbar}{L}} \sum_{k_z, n} \sqrt{\frac{\omega_n(k)}{S(k_z)}} \left( -\frac{ik_z}{q_m} I'_n(q_m r) - \frac{i\omega n f}{q_m^2 r} I_n(q_m r) \right) \mathbf{e}_{k_z, n} \Phi + \text{э.с.} \\
\mathbf{E}_\varphi^m &= \sqrt{\frac{2\hbar}{L}} \sum_{k_z, n} \sqrt{\frac{\omega_n(k)}{S(k_z)}} \left( \frac{nk_z}{q_m^2 r} I_n(q_m r) + \frac{\omega f}{q_m} I'_n(q_m r) \right) \mathbf{e}_{k_z, n} \Phi + \text{э.с.} \\
\mathbf{E}_z^m &= \sqrt{\frac{2\hbar}{L}} \sum_{k_z, n} \sqrt{\frac{\omega_n(k)}{S(k_z)}} I_n(q_m r) \mathbf{e}_{k_z, n} \Phi + \text{э.с.}
\end{aligned} \quad (14)$$

Аналогичным образом записываются выражения вне нанопроволоки

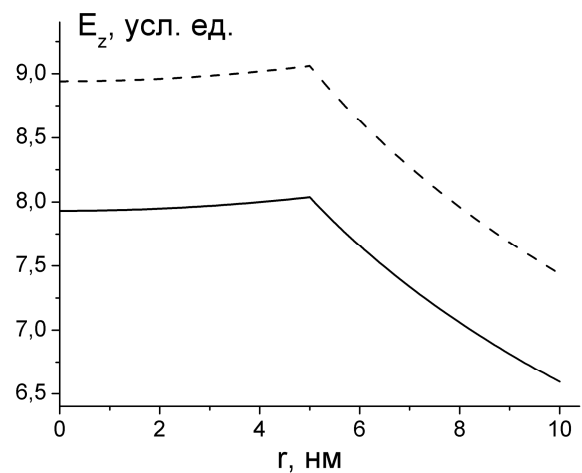
$$\begin{aligned}
\mathbf{E}_r^d &= \sqrt{\frac{2\hbar}{L}} \sum_{k_z, n} \sqrt{\frac{\omega_n(k)}{S(k_z)} \frac{I_n(q_m R)}{K_n(q_d R)}} \left( -\frac{ik_z}{q_d} K'_n(q_d r) - \frac{i\omega n f}{q_d^2 r} K_n(q_d r) \right) \mathbf{e}_{k_z, n} \Phi + \text{э.с.} \\
\mathbf{E}_\varphi^d &= \sqrt{\frac{2\hbar}{L}} \sum_{k_z, n} \sqrt{\frac{\omega_n(k)}{S(k_z)} \frac{I_n(q_m R)}{K_n(q_d R)}} \left( \frac{nk_z}{q_d^2 r} K_n(q_d r) + \frac{\omega f}{q_d} K'_n(q_d r) \right) \mathbf{e}_{k_z, n} \Phi + \text{э.с.} \\
\mathbf{E}_z^d &= \sqrt{\frac{2\hbar}{L}} \sum_{k_z, n} \sqrt{\frac{\omega_n(k)}{S(k_z)} \frac{I_n(q_m R)}{K_n(q_d R)}} K_n(q_d r) \mathbf{e}_{k_z, n} \Phi + \text{э.с.},
\end{aligned} \quad (15)$$

где  $\Phi = e^{i(k_z z + n\varphi - \omega_n(k)t)}$ .

На рисунке 2 изображена зависимость области локализации  $S(k)$  осесимметричного плазмона от продольного волнового числа в квазистатическом приближении (13) и с учетом запаздывания (12). Расчеты проведены для серебряной нанопроволоки радиуса  $R = 5$  нм. Как видно из



**Рис. 2.** Зависимость области локализации осесимметричного поверхностного плазмона от волнового числа. Сплошная кривая – учет запаздывания, штриховая кривая – квазистатическое приближение



**Рис. 3.** Радиальная зависимость z-компоненты напряженности электрического поля осесимметричного поверхностного плазмона. Обозначения кривых такие же, как на рис. 2

рисунка, учет запаздывания приводит к увеличению области локализации при малых волновых числах. На рисунке 3 представлены результаты расчетов амплитуды  $z$ -компоненты напряженности электрического поля осесимметричного плазмон-поляритона с  $k = 5 \cdot 10^4 \text{ см}^{-1}$ . Для сравнения изображена напряженность поля в квазистатическом приближении. Из рисунка следует, что квазистатическое приближение дает несколько завышенные значения напряженности электрического поля, что может приводить к неточностям в дальнейших расчетах энергии взаимодействия молекул с поверхностными плазмонами.

Таким образом, проведенные расчеты показывают, что при решении задач, связанных с взаимодействием одномерных поверхностных плазмонов с электронными возбуждениями молекул, квантовых точек, и других наноструктур, корректнее использовать выражения для компонент напряженности электрического поля с учетом запаздывания (14) – (15). Особенно это важно при описании гибридных плазмон-экситонных состояний в наноструктурах с  $J$ -агрегатами.

Работа выполнена при финансовой поддержке Министерства образования и науки РФ (Госзадание № 233).

#### Список литературы

1. Климов, В.В. Наноплазмоника : монография / В.В. Климов. -Москва: Физматлит, - 2009. - 480 с. – ISBN 978-5-9221-1030-3.
2. Новотный, Л. Основы нанооптики : монография / Л. Новотный, Б. Хехт. - М: Физматлит, - 2009. - 484 с. - ISBN 978-5-9221-1095-2.
3. Чмерева, Т.М. Тушение электронно-возбужденных состояний квантовых точек металлической нанопроволокой / Т. М. Чмерева, М.Г. Кучеренко, А.Д. Дмитриев // Оптика и спектроскопия. – 2015. - Т. 118. - № 1. - С. 300–306.
4. Кучеренко, М.Г. Процессы с участием электронно-возбужденных молекул на поверхностях твердых адсорбентов : монография / М.Г. Кучеренко, Т.М. Чмерева. – Оренбург: ОГУ, -2010 – 344с. - ISBN 978-5-7410-1137-9.
5. Чмерева, Т.М. Гибридные плазмон-экситонные состояния в плоскостной наноструктуре / Т.М. Чмерева, К.С. Курмангалеев // материалы Международной научной конференции, посвященной 60-летию ОГУ «Наука и образование: фундаментальные основы, технологии, инновации» Оренбург: ООО ИПК «Университет», 2015. –Часть 4. - С. 221-226 ISBN 978-5-4417-0561-5
6. Archambault, A Quantum theory of spontaneous and stimulated emission of surface plasmons / A. Archambault, F. Marquier, J.-J. Greffet, C. Arnold // Phys. Rev. B. – 2010. – V. 82. - P 035411.
7. Стрэттон, Дж.А. Теория электромагнетизма / Дж. А. Стрэттон. – Москва - Ленинград : ОГИЗ. Государственное издательство технико-теоретической литературы, 1948 . – 540 с. - ISBN 978-5-4458-5502-6 .
8. Chen, Y. N. Quantum-dot exciton dynamics with a surface plasmon: Band-edge quantum optics / Y. N.Chen, G. Y. Chen, D. S. Chuu, T. Brandes // Phys. Rev. A.- 2009.- V. 79. - P. 033815.